Использование комбинации цитогенетических факторов риска и молекулярно-генетических показателей, выявляемых методом множественной лигазно-зависимой амплификации зондов, для прогнозирования исходов лечения острого лимфобластного лейкоза из В-линейных предшественников у детей не дает существенных преимуществ по сравнению с изолированной оценкой делеций в гене *IKZF1*

Г.А. Цаур¹⁻⁴, А.Е. Друй^{2, 5}, А.Г. Солодовников^{2, 4}, А.М. Попов⁵, А.П. Шапочник⁶, Л.В. Вахонина^{1, 2}, А.А. Власова¹, О.Р. Аракаев^{1, 2}, Т.О. Ригер^{1, 2}, Т.Ю. Вержбицкая^{1, 2}, Ю.В. Ольшанская⁵, Е.В. Шориков⁷, С.В. Цвиренко^{1, 4}, Л.И. Савельев^{1, 2, 4}, Л.Г. Фечина^{1, 2}

¹ГБУЗ СО «Областная детская клиническая больница № 1»; Россия, 620149, Екатеринбург, ул. Серафимы Дерябиной, 32;
²ГАУЗ СО «Центр организации специализированных видов медицинской помощи «Институт медицинских клеточных
технологий»; Россия, 620026, Екатеринбург, ул. Карла Маркса, 22, корп. А; ³ФГБУН «Институт иммунологии и физиологии
Уральского отделения РАН»; Россия, 620049, Екатеринбург, ул. Первомайская, 106; ⁴ФГБОУ ВО «Уральский государственный медицинский университет» Минздрава России; Россия, 620030, Екатеринбург, ул. Репина, 3; ⁵ФГБУ «НМИЦ ДГОИ
им. Дмитрия Рогачева» Минздрава России; Россия, 117997, Москва, ул. Саморы Машела, 1; ⁶ГБУЗ «Оренбургский
областной клинический онкологический диспансер»; Россия, 460021, Оренбург, просп. Гагарина, 11;
⁷ООО «ПЭТ-Технолоджи»; Россия, 620905, Екатеринбург, ул. Соболева, 29, стр. 8

Контактные данные: Григорий Анатольевич Цаур tsaur@mail.ru

Целью работы являлась оценка прогностического значения комбинации цитогенетических и молекулярно-генетических показателей, выявляемых методом множественной лигазно-зависимой амплификации зондов (Multiplex ligation-dependent probe amplification, MLPA) v 142 детей с острым лимфобластным лейкозом (ОЛЛ) из В-линейных предшественников (ВП-ОЛЛ). В группу низкого генетического риска (НГР) вошли 114 пациентов с транслокацией t(12;21)(p13;q22)/ETV6-RUNX1 или высокой гипердиплоидией с отсутствием делеций генов IKZF1, PAX5, ETV6, RB1, BTG1, EBF1, CDKN2A/2B и в псевдоаутосомном регионе PAR1, или с единичными делециями генов ETV6/PAX5/BTG1, или наличием делеций гена ETV6 с одной дополнительной делецией BTG1/PAX5/CDKN2A/B. Всех остальных пациентов (n=28) относили к группе высокого генетического риска ($B\Gamma P$). Пациенты BГР были достоверно старше (p = 0,015), чаще стратифицировались в группу высокого риска протокола ALL-MB-2008 (p=0,001), имели высокий инициальный лейкоцитоз (p=0,008), M3-статус костного мозга на 15-й день индукционной терапии (p=0,002), отсутствие гематологической ремиссии на 36-й день (p=0,039) по сравнению с группой НГР. Больные группы ВГР имели статистически значимо более низкие бессобытийную выживаемость (БСВ) $(0.59 \pm 0.11 \, u \, 0.88 \pm 0.03; p = 0.0008)$ и общую выживаемость (OB) $(0.63 \pm 0.15 \text{ и } 0.93 \pm 0.02; p = 0.0050)$, а также более высокую кумулятивную частоту развития рецидива (KYP) $(0.38 \pm 0.12 \, u \, 0.06 \pm 0.02; p < 0.0001)$ по сравнению с группой НГР. Деление на группы генетического риска сохраняло прогностическое значение и в многофакторном анализе по влиянию на БСВ (относительный риск (OP) — 2,659; 95 % ДИ 1,047— 6,755; p = 0,040) и КЧР (OP -3,864; 95% ДИ 1,226-12,183; p = 0,021), но не влияло на OB (OP -1,479; 95% ДИ 0,356-6,139;p = 0,590). Деление на группы генетического риска утрачивало свою прогностическую роль в группе «другие В-линейные ОЛЛ». Большинство неблагоприятных событий (9 из 10) и рецидивов (8 из 9) у пациентов группы ВГР было выявлено при наличии у них делеций IKZF1. Более того, все 15 пациентов с делециями IKZF1 были отнесены нами к группе ВГР. В связи с этим при включении делеций IKZF1 в многофакторную модель группа ВГР утрачивала свое неблагоприятное значение как по влиянию на риск неблагоприятного события $(OP-0,696; 95\% \, ДИ \, 0,086-5,636; p=0,735)$, так и на риск рецидива $(OP-0,511; 95\% \, ДИ \, 0,053-4,924;$ p = 0,561), в то время как делеции IKZF1 сохраняли свое негативное влияние и на БСВ (OP - 4,292; 95 % ДИ 1,521-12,911; p=0,006), и на риск рецидива ($OP-9,163;\,95\%$ ДИ $3,131-26,815;\,p<0,001$). Таким образом, использование комбинации цитогенетических групп риска и MLPA-маркеров для прогнозирования исходов лечения ВП-ОЛЛ у детей не дает существенных преимуществ по сравнению с изолированной оценкой делеций в гене IKZF1.

Ключевые слова: острый лимфобластный лейкоз, цитогенетические группы риска, дети, прогноз, факторы риска, делеции гена IKZF1, MLPA

DOI: 10.17650/2311-1267-2017-5-1-34-43

Application of cytogenetic risk factors and molecular markers, assessed by multiplex ligation-dependent probe amplification for prognosis of outcome in pediatric B-cell precursor acute lymphoblastic leukemia do not bring any advantage over detection of isolated *IKZF1* deletion

G.A. Tsaur¹⁻⁴, A.E. Druy^{2, 5}, A.G. Solodonikov^{2, 4}, A.M. Popov⁵, A.P. Shapochnik⁶, L.V. Vakhonina^{1, 2}, A.A. Vlasova¹, O.R. Arakaev^{1, 2}, T.O. Riger^{1, 2}, T.Yu. Verzhbitskaya^{1, 2}, Yu.V. Olshanskaya⁵, E.V. Shorikov⁷, S.V. Tsvirenko^{1, 4}, L.I. Saveliev^{1, 2, 4}, L.G. Fechina^{1, 2}

¹Regional Children's Clinical Hospital № 1; 32 Serafimy Deryabinoy, Yekaterinburg, 620149, Russia; ²Center for the Organization of Specialized Types of Medical Care "Research Institute of Medical Cell Technologies", 22A Karla Marksa St., Yekaterinburg, 620026, Russia; ³Institute of Immunology and Physiology of the Ural Branch of the Russian Academy of Sciences; 106 Pervomayskaya St., Yekaterinburg, 620049, Russia; ⁴Ural State Medical University, Ministry of Health of Russia; 3 Repina St., Yekaterinburg, 620030, Russia; ⁵Dmitry Rogachev National Medical Research Center of Pediatric Hematology, Oncology and Immunology, Ministry of Health of Russia; 1 Samory Mashela St., Moscow, 117997, Russia; ⁶Orenburg Regional Clinical Oncological Dispensary; 11 Gagarina Prosp., Orenburg, 460021, Russia; ⁷PET-Technology Ltd; 29, Bld. 8, Soboleva St., Yekaterinburg, 620905, Russia

The purpose of the current work was the estimation of prognostic significance of cytogenetic and molecular markers, assessed by multiplex ligation-dependent probe amplification (MLPA) in 142 cases of pediatric B-cell precursor acute lymphoblastic leukemia (BCP-ALL) patients. Good-risk genetic (GEN-GR) group consisted of 114 patients carrying either ETV6-RUNX1 or high hyperdiploidy together with normal copynumber status for all 8 genes (IKZF1, PAX5, ETV6, RB1, BTG1, EBF1, CDKN2A/2B and PAR1) or isolated deletions affecting ETV6/ PAX5/BTG1 and ETV6 deletions with a single additional deletion of BTG1/PAX5/CDKN2A/2B. All other patients (n = 28) were classified to genetic poor risk (GEN-PR) group. GEN-PR features were older age (p = 0.015), stratification to high-risk group of ALL-MB 2008 protocol (p = 0.001), higher initial WBC (p = 0.008), M3 marrow status on day 15 (p = 0.002) and lack of remission on day 36 (p = 0.039). GEN-PR patients had statistically significant lower event-free survival (EFS) (0.59 \pm 0.11 vs 0.88 \pm 0.03; p = 0.0008), overall survival (OS) $(0.63 \pm 0.15 \text{ vs } 0.93 \pm 0.02; p = 0.0050)$ and higher cumulative incidence of relapse (CIR) $(0.38 \pm 0.12 \text{ u } 0.06 \pm 0.02; p < 0.0001)$ in comparison to GEN-GR patients. Genetic risk group stratification retained its negative prognostic value in multivariate analysis affecting EFS (hazard ratio (HR) -2.659; 95 % CI 1.047-6.755; p = 0.040) and CIR (HR -3.864; 95 % CI 1.226-12.183; p = 0.021), nut did not influenced to OS (HR -1.479; 95 % CI 0.356-6.139; p = 0.590). There was no prognostic significance of genetic risk group classifier in the "B-other ALL" group. Majority of unfavorable events (9 out of 10) and relapse (8 out of 9) in GEN-PR patients were revealed in case of IKZF1 deletion co-occurrence. Moreover all 15 patients carrying IKZF1 deletions were stratified to GEN-PR group. So when we added IKZF1 deletion as extra variable in the multivariate analysis genetic risk group classification lost its prognostic significance on EFS $(HR - 0.696; 95\%CI\ 0.086 - 5.636; p = 0.735)$, and $CIR\ (HR - 0.511; 95\%CI\ 0.053 - 4.924; p = 0.561)$, while IKZF1 deletion remained its prognostic value both to risk of unfavorable event (HR - 4.292; 95 % CI 1.521-12.911; p = 0.006) and risk of relapse (HR - 9.163; 95 % CI 3.131–26.815; p < 0.001). Thus, combination of cytogenetic risk group and MLPA markers did not bring any advantage over detection of isolated IKZF1 deletion for the estimation of prognosis in pediatric BCP-ALL.

Key words: acute lymphoblastic leukemia, cytogenetic risk group, children, prognosis, risk factors, IKZF1 deletions, MLPA

Введение

Известно, что делеции в гене *IKZF1*, кодирующем белок IKAROS, в рамках различных терапевтических протоколов являются независимым прогностическим фактором, ведущим к ухудшению результатов лечения детей и взрослых с Ph-негативным острым лимфобластным лейкозом (ОЛЛ) из B-линейных предшественников (ВП-ОЛЛ) [1—9].

Впервые связь делеций *IKZF1* с прогнозом ВП-ОЛЛ была практически одновременно описана двумя исследовательскими группами в 2007 г. [10, 11]. Также было показано, что делеции *IKZF1* выявляются у подавляющего большинства больных Ph-позитивным ОЛЛ [12, 13], и в более чем половине случаев лимфоидного бластного криза при хроническом миелоидном лейкозе [12, 14], в 40 % случаев при *BCR-ABL1*-подобном профиле экспрессии генов [15], и примерно у трети пациентов с ОЛЛ и болезнью Дауна [16]. Во всех этих случаях делеции *IKZF1* являются

независимым прогностическим фактором, связанным с неблагоприятным прогнозом заболевания.

Делеции IKZF1 не являются единственным инициальным фактором риска ОЛЛ у детей. Начиная с середины 1980-х годов, была показана важная прогностическая роль различных структурных и количественных цитогенетических аномалий. А. Moorman et al. на основании анализа ОЛЛ v 1725 детей, получавших лечение по протоколам ALL-97/99 в рамках британской исследовательской группы UK MRC, предложили деление всех случаев ВП-ОЛЛ на 3 группы цитогенетического риска [17]. Группа низкого цитогенетического риска включает в себя больных с транслокацией t(12;21)(p13;q22)/ETV6-RUNX1 и высокой гипердиплоидией (количество хромосом 51-65). Для включения в группу высокого цитогенетического риска необходимо наличие одной из следующих генетических аберраций: транслокации t(9;22) (q34;q11)/BCR-ABL1, t(17;19)(q23;p13)/TCF3-HLF, πe

рестройки 11q23/MLL, окологаплоидного кариотипа (менее 30 хромосом), низкой гиподиплоидии/околотриплоидного кариотипа (30–39/66–78 хромосом), внутрихромосомной амплификации хромосомы 21 (iAMP21). Пациенты с любыми другими хромосомными аномалиями, а также с нормальным кариотипом были отнесены авторами в группу промежуточного риска [17]. Позднее этой же группой исследователей была предложена комбинированная классификация, одновременно учитывающая цитогенетическую группу риска и данные множественной лигазно-зависимой амплификации зондов (Multiplex ligationdependent probe amplification, MLPA), учитывающими не только статус гена IKZF1, но и других генов, детектируемых в ходе одной мультиплексной реакции с использованием коммерческого набора SALSA MLPA P335 ALL-IKZF1 (MRC-Holland, Нидерланды) [18]. В число этих генов входят следующие, связанные с развитием и пролиферацией В-клеток: РАХ5, ЕТV6, RB1, BTG1 EBF1, CDKN2A, CDKN2B, SHOX, CRLF2, CSF2RA, IL3RA, P2RY8. Авторы разделили всех пациентов на группы. В группу низкого генетического риска (НГР) вошли больные с транслокацией t(12;21) (p13;q22)/ETV6-RUNX1 или высокой гипердиплоидией в сочетании с нормальным статусом генов (отсутствие делеций) IKZF1, PAX5, ETV6, RB1, BTG1, EBF1, CDKN2A/2B и в псевдоаутосомном регионе PAR1, либо с единичными делециями генов ETV6/PAX5/ BTG1, либо с наличием делеций гена ETV6 с одной дополнительной делецией BTG1/PAX5/CDKN2A/B. Bcex остальных пациентов относили к группе высокого генетического риска (ВГР).

Пациенты группы НГР имели достоверно более высокие показатели бессобытийной (БСВ) и общей (ОВ) выживаемости, в первую очередь за счет более низкой кумулятивной частоты развития рецидивов (КЧР) при лечении по протоколам ALL-97/99 и UKALL2003 [18].

Несколько другой способ комбинации делеций IKZF1 с молекулярно-генетическими маркерами и данными по определению минимальной остаточной болезни (МОБ) был предложен исследовательской группой AIEOP-BFM. Наихудшие результаты лечения по протоколу AIEOP-BFM ALL-2000 имели пациенты, у которых было выявлено сочетание делеций IKZF1 с делециями одного или нескольких генов CDKN2A, CDKN2B, PAX5, PAR1 при обязательном отсутствии делеций в гене *ERG*. Эта группа, имевшая статистически значимо более низкую БСВ и более высокую КЧР, получила название ІКΖ Гіплюс. При включении в модель результатов определения МОБ на день 33 было показано, что выделение профиля $IKZF1^{плюс}$ имеет прогностическое значение для пациентов высокого и промежуточного риска, но не стандартного риска [19].

Мы в своей работе выбрали первый подход — выделение генетических групп риска по А. Moorman et al. [18] — и оценили его прогностическое значение у больных, получавших лечение по протоколам группы Москва—Берлин (МВ). Ранее в нашей стране подобное исследование не проводилось.

Цель исследования — оценить прогностическое значение комбинации цитогенетической группы риска и молекулярно-генетических показателей, выявляемых методом MLPA, для прогнозирования исходов лечения ВП-ОЛЛ у детей, получавших терапию по протоколу ALL-MB-2008.

Материалы и методы

В исследование были включены 142 пациента с ВП-ОЛЛ, получавших лечение по протоколу ALL-МВ-2008 в отделе детской онкологии и гематологии Областной детской клинической больницы № 1 (Екатеринбург) (n = 121) и детском онкологическом отделении Оренбургского областного клинического онкологического диспансера (n = 21) с апреля 2008 по октябрь 2013 г. Критериями включения в данное исследование были диагноз ВП-ОЛЛ, возраст от 1,1 года до 16 лет, а также наличие ДНК, выделенной из бластных клеток, взятых во время установления диагноза. В исследуемой группе было 75 (52,8 %) мальчиков и 67 (47,2 %) девочек в возрасте от 1,1 года до 16 лет (медиана возраста – 3,15 года). Медиана времени наблюдения составила 4,2 года. Исходя из критериев стратификации протокола ALL-MB-2008 [20] в группу стандартного риска были включены 63 (44,4 %) больных, в группу промежуточного риска -64 (45,1 %), в группу высокого риска -15 (10,5 %) пациентов.

Деление на группы цитогенетического риска проводили согласно рекомендациям А. Моогта et al. [17]. Группу «другие В-линейные ОЛЛ» (n=84) выделяли после исключения всех неслучайных количественных (высокая гипердиплоидия, гиподиплоидия) и структурных (t(12;21)(p13;q22)/ETV6-RUNX1 t(9;22)(q34.q11)/BCR-ABL1, t(1;19)(q23;p13)/TCF3-PBX1, перестройки t(12;23)/t(12;23

Определение МОБ методом проточной цитометрии проведено у 119 пациентов по ранее описанной методике [21, 22] с выделением групп риска по результатам оценки на 15, 36 и 85-й дни (а для группы высокого риска — после 1-го блока интенсификации) [23].

Выявление делеций *IKZF1*, *PAX5*, *ETV6*, *RB1*, *BTG1*, *EBF1*, *CDKN2A*, *CDKN2B*, *PAR1* проводили методом MLPA с использованием набора SALSA MLPA P335 ALL-IKZF1 (MRC-Holland, Нидерланды) согласно инструкции производителя. В рамках данной работы под выявлением делеции понимали только те случаи, где отсутствовали 2 и более экзона любого из исследованных генов [18]. Поскольку гены *CDKN2A* и *CDKN2B* располагаются близко друг от друга в хро-

 $1 \parallel 20$

мосомном районе 9p21.3, а к гену CDKN2B в наборе P335 ALL-IKZF1 имеется только 1 зонд, то для практических целей эти 2 гена мы, вслед за А. Моогтап et al. [18], рассматривали их как единое целое, обозначив CDKN2A/B. Под делецией псевдоаутосомного региона PAR1, расположенного в зависимости от пола в хромосомных районах Хр22.33 и Ур11.31, понимали делеции генов CSF2RA и IL3RA при сохранении гена CRLF2. Делеции *PAR1* рассматривались как эквивалент наличия химерного гена CRLF2-P2RY8. Наличие делеций в гене IKZF1 дополнительно подтверждали с использованием набора SALSA MLPA P202 IKZF1 (IKAROS) (MRC-Holland, Нидерланды). Подробную методику проведения и оценки результатов MLPA мы приводили в своей более ранней работе [9]. Детальные условия разделения на группы НГР и ВГР приведены на рис. 1.

Для статистической обработки данных использовали программное обеспечение SAS и R-statistics. При сравнении по качественным признакам использовали критерий χ^2 с поправкой Йетса, при сравнении по количественным признакам – критерий Манна-Уитни. Результаты терапии оценивали по кривым БСВ и ОВ, построенным по методу Каплана-Майера, а также по КЧР. Для сравнения кривых использовали непараметрические критерий log-rank (для БСВ и ОВ) и критерий Грея (для КЧР). При расчете БСВ под событиями понимали рецидив, смерть вследствие любой причины как первое событие, потерю из-под наблюдения. Стандартную ошибку рассчитывали по формуле Гринвуда. Расчет относительного риска (ОР) с 95 % доверительным интервалом (ДИ) был проведен по методу пропорционального риска Кокса в однофакторной и многофакторной моделях. Многофакторный анализ проведен для значимых в однофакторном анализе показателей в зависимости от их значимости, на основании величин р и ОР методом последовательного исключения. Параметры сравнивали с использованием теста Вальда. Все различия считали статистически значимыми при p < 0.05.

Результаты

Частота выявления делеций каждого из исследованных генов показана на рис. 2. Наиболее часто выявлялись делеции в генах ETV6 (19,7%) и PAX5 (19,0%). Делеции в гене IKZF1 обнаружены у 10,6% пациентов, в PAR1- у 6,3%. Прогностическая роль изолированных делеций генов представлена в табл. 1. Статистически значимые различия БСВ зафиксированы только в зависимости от статуса IKZF1. Несмотря на видимые более низкие показатели БСВ у пациентов с делециями BTG1, RB1, PAR1, по сравнению с больными, у которых вышеуказанные делеции отсутствовали, выявленные различия не достигали границы достоверности. Отчасти это может быть связано с небольшим размером групп.

Признаки группы НГР

Цитогенетические перестройки низкого риска:

- транслокация t(12;21)(p13;q22)/ETV6-RUNX1
- высокая гипердиплоидия (n = 51-65)

МLРА-маркеры низкого риска:

- отсутствие делеций *IKZF1, PAX5, ETV6, RB1, BTG1, EBF1, CDKN2A/2B, PAR1*
- единичные делеции генов ETV6, PAX5 или BTG1
- делеции гена ETV6 с одной дополнительной делецией BTG1, PAX5 или CDKN2A/B

Признаки группы ВГР

Цитогенетические перестройки высокого риска:

- транслокация t(9;22)(q34;q11)/*BCR-ABL1*
- транслокация t(17;19)(q23;p13)/TCF3-HLF
- перестройки 11q23/*MLL*
- окологаплоидный кариотип (n < 30)
- низкая гиподиплоидия/околотриплоидный кариотипп (n = 30–39/66–78)
- внутрихромосомная амплификация хромосомы 21 (iAMP21)

МLРА-маркеры промежуточного и высокого риска:

- любая делеция генов IKZF1, PAR1, EBF1 или RB1
- любые комбинации делеций, не упомянутые выше

Пациенты классифицируются иерархически, при этом цитогенетические аномалии имеют преимущество перед данными MLPA

Genetic Good Risk Group

Cytogenetic low-risk abnormalities

- translocation t(12;21)(p13;q22)/ETV6-RUNX1
- high hyperdiploidy (n = 51-65)

MLPA-markers for low risk:

- Absence of deletions IKZF1, PAX5, ETV6, RB1, BTG1, EBF1, CDKN2A/2B, PAR1
- single deletions of genes ETV6, PAX5 or BTG1
- Deletions of gene ETV6 with one additional deletion BTG1, PAX5 or CDKN2A/B

Genetic Poor Risk Group

Cytogenetic high-risk abnormalities:

- translocation t(9;22)(q34;q11)/BCR-ABL1
- translocation t(17;19)(q23;p13)/*TCF3-HLF*
- rearrangement 11q23/MLL
- near-haploid karyotype (n < 30)
- low hypodiploidy/near triploid karyotype (n = 30-39/66-78)
- intrachromosomal amplification of chromosome 21 (iAMP21)

MLPA-markers for intermediate and high risk:

- any depletion of genes IKZF1, PAR1, EBF1 or RB1
- any combination of deletions not mentioned previously

Patients are classified hierarchically, cytogenetic abnormalities have the advantage of MLPA data

Рис. 1. Условия разделения на группы генетического риска детей с ВП-ОЛЛ

Fig. 1. Definition of genetic risk groups stratification for pediatric BCP-ALL

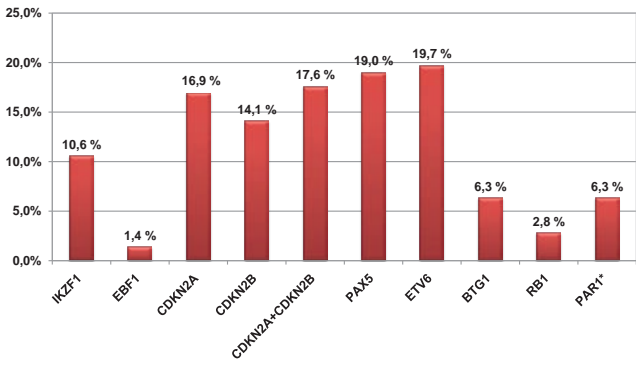


Рис. 2. Частота выявления изолированных делеций исследованных генов

Fig. 2. The incidence of isolated deletions of the evaluated genes

Таблица 1. Прогностическая роль изолированных делеций генов **Table 1.** Prognostic significance of isolated gene deletions

Ген <i>Gene</i>	БСВ пациентов с делециями EFS of patients with deletions	БСВ пациентов без делеций EFS of patients without deletions	p
IKZF1	30,0	89,3	< 0,001
EBF1	100	82,1	0,998
CDKN2A	76,4	84,5	0,260
CDKN2B	81,8	83,5	0,876
CDKN2A/B	77,5	84,5	0,308
PAX5	78,6	84,7	0,643
ETV6	85,7	82,8	0,942
BTG1	66,7	84,6	0,117
RB1	50,0	83,8	0,769
PAR1	64,8	84,5	0,111

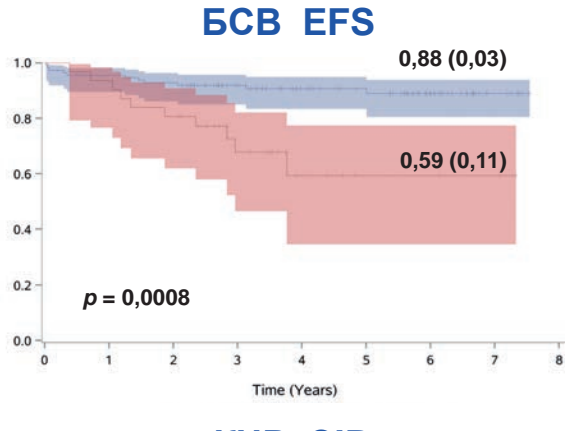
Примечание. Здесь и далее в таблицах жирным шрифтом выделены статистически значимые различия (p < 0.05).

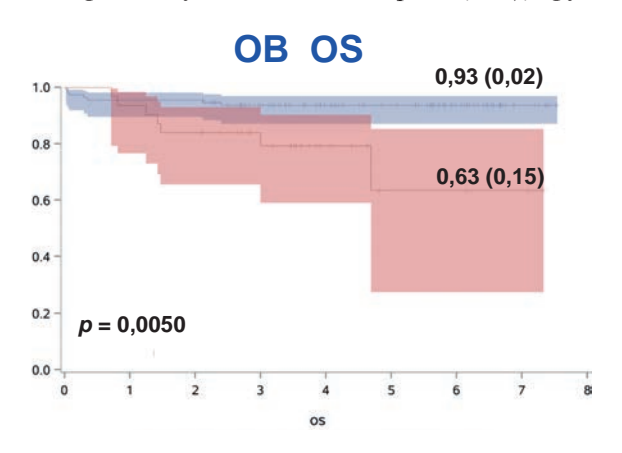
Note. Here and in the subsequent tables statistically significant differences are marked in bold (p < 0.05).

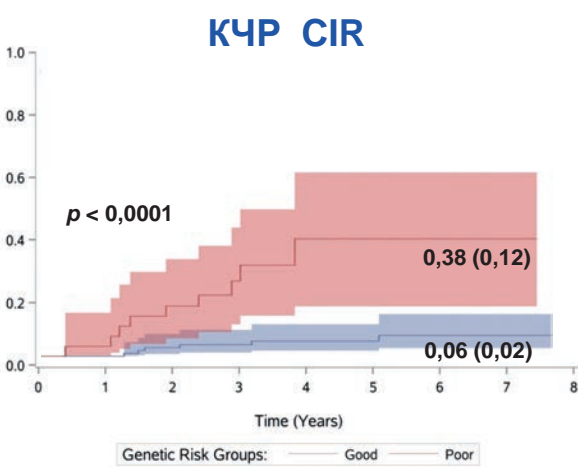
В группу НГР были включены 114 пациентов, в группу ВГР – 28. Пациенты группы ВГР были достоверно старше (p=0,015), чаще стратифицировались в группу высокого риска протокола ALL-MB-2008 (p=0,001), имели высокий инициальный лейкоцитоз (p=0,008) и более медленный ответ на лечение на 15-й (p=0,002) и 36-й (p=0,039) дни по сравнению с группой НГР. Более подробные данные приведены в табл. 2.

Больные группы ВГР имели статистически значимо более низкую БСВ (0,59 \pm 0,11 и 0,88 \pm 0,03 соответственно; p=0,0008), что было обусловлено более высокой КЧР в этой группе (0,38 \pm 0,12 и 0,06 \pm 0,02 соответственно; p<0,0001). ОВ была также достоверно ниже у пациентов группы ВГР по сравнению с группой НГР (0,63 \pm 0,15 и 0,93 \pm 0,02 соответственно; p=0,0050) (рис. 3).

Однофакторный анализ всех инициальных переменных и показателей ответа на терапию (без учета данных определения МОБ) показал, что прогностически неблагоприятными факторами, влияющими на возникновение негативных событий, являлись группа ВГР (p = 0.001); высокая группа риска при лечении по протоколу ALL-MB-2008 (p < 0.001); группа вы-







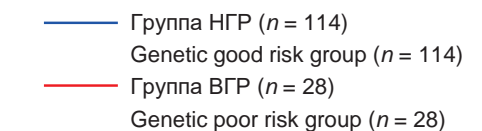


Рис. 3. Прогностическое значение разделения на группы ВГР и НГР с графическим указанием 95 % ДИ **Fig. 3.** The prognostic significance of stratification into genetic good risk and genetic poor risk groups with graphical indication of 95 % CI

пациентов в зависимости от группы генетического риска

Таблица 2. Инициальная характеристика и ответ на терапию **Table 2.** The initial characteristics and treatment response criteria of patients stratified by genetic risk group

Показатель	Группа НГР (n = 114)	Группа ВГР (n = 28)	p	Indicator	Low-risk group (n = 114)	High-risk group (n = 28)	p
Медиана возраста, годы (диапазон)	3,0 (1,1–16,0)	5,8 (2,1–15,4)	0,015	Median age, years (range)	3.0 (1.1–16.0)	5.8 (2.1–15.4)	0.015
Группа риска ALL-MB-2008				Risk group ALL-MB-2008			
стандартная $(n = 63)$	57 (50,0 %)	6 (21,4 %)		standart ($n = 63$)	57 (50.0 %)	6 (21.4 %)	
промежуточная			0,001	intermediate ($n = 64$)	50 (43.9 %)	14 (50.0 %)	0.001
(n = 64)	50 (43,9 %)	14 (50,0 %)	0,001	high (n = 15)	7 (6.1 %)	8 (28.6 %)	
высокая (n = 15)	7 (6,1 %)	8 (28,6 %)		Initial WBC count $\geq 50 \times 10^9 / l$	17 (14.9 %)	11 (39.3 %)	0.008
Инициальный лейко- цитоз $\geq 50 \times 10^9$ /л	17 (14,9 %)	11 (39,3 %)	0,008	The presence of CNS leukemia	18 (15.8 %)	5 (17.8 %)	0.984
Наличие нейролей- коза	18 (15,8 %)	5 (17,8 %)	0,984	More than 1000 blast cells in 1 µl of			
Более 1000 бластов в 1 мкл периферичес- кой крови на 8-й день	4 (3,5 %)	4 (14,3 %)	0,079	peripheral blood on the day 8 of therapy	4 (3.5 %)	4 (14.3 %)	0.079
терапии				M3-status of the bone marrow on the day 15 of	9 (7.9 %)	9 (32.1 %)	0.002
M3-статус костного мозга на 15-й день	9 (7,9 %)	9 (32,1 %)	0,002	induction remission	9 (1.9 %)	9 (32.1 70)	0.002
Отсутствие ремиссии на 36-й день	3 (2,6 %)	4 (14,3 %)	0,039	The lack of remission on the day 36 of induction remission	3 (2.6 %)	4 (14.3 %)	0.039
Группа высокого рис- ка по данным МОБ*				High risk group according to the MRD*			
≥ 10 % на 15-й день терапии	11 (11,7 %)	7 (31,8 %)	0,063	\geq 10 % on the day 15 of induction remission	11 (11.7 %)	7 (31.8 %)	0.063
≥ 0,1 % на 36-й день терапии	13 (13,5 %)	9 (39,1 %)	0,011	\geq 0.1 % on the day 36 of induction remission	13 (13.5 %)	9 (39.1 %)	0.011
≥ 0,01 % на 85-й день терапии	7 (7,6 %)	5 (21,7 %)	0,097	\geq 0.01 % on the day 85 of therapy	7 (7.6 %)	5 (21.7 %)	0.097

тов, на 36-й день — у 119, на 85-й день терапии (или после первого блока on the day 36 — in 119, on the day 85 (or after the first block for high-risk высокого риска) — у 115 больных.

Примечание. * — определение МОБ на 15-й день проведено у 116 пациен- Note. * — MRD assessment on the day 15 was performed in 116 patients, group) - in 115.

сокого цитогенетического риска (p = 0.010); возраст старше 10 лет (p = 0.013); инициальный лейкоцитоз как выше $30 \times 10^9/\pi$ (p = 0.001), так и выше $50 \times 10^9/\pi$ (p = 0.002); абсолютное количество бластных клеток выше 1000 на 8-й день индукционной терапии (p = 0.042); M3-статус костного мозга на 15-й день индукционной терапии (p < 0.001); отсутствие клинико-гематологической ремиссии на 36-й день (p < 0.001). Результаты многофакторного анализа приведены в табл. 3. Группа ВГР достоверно снижала БСВ (OP - 2,659; 95 % ДИ 1,047 - 6,755; p = 0,040), повышала риск рецидива (OP -3,864; 95 % ДИ 1,226-12,183; p = 0.021), но не влияла на OB (OP - 1.479; 95 % ДИ 0,356-6,139; p = 0,590).

Поскольку МОБ методом проточной цитометрии была определена только у 119 пациентов, то мы не вклю-

чали этот показатель в общую группу анализа и провели отдельный анализ среди тех больных, которым проводилось это исследование. Величины МОБ не менее 10 % на 15-й день индукции ремиссии (p = 0.002), не менее 0.1% на 36-й день (p < 0.001), не менее 0.01% на 85-й день (p < 0.001) статистически значимо чаще выявлялись у пациентов группы ВГР. Многофакторный анализ показал, что даже в присутствии такого важного параметра, как МОБ, деление на группы генетического риска сохраняет свою статистическую значимость (табл. 4). Группа ВГР достоверно снижала БСВ (OP - 5,811; 95 % ДИ 1,747—19,326; p = 0.004) и ОВ (OP — 7,471; 95 % ДИ 1,373-40,656; p=0,020), а также повышала риск рецидива (OP -7,062; 95 % ДИ 1,947-25,619; p = 0,003).

При оценке прогностической роли группы генетического риска у 84 пациентов подгруппы «другие В-линей-

Таблица 3. Многофакторный анализ прогностических показателей с учетом групп генетического риска у 141 пациента* с ВП-ОЛЛ

Показатель	OP	95 % ДИ	p
БСВ		•	
группа ВГР	2,659	1,047-6,755	0,040
высокая группа риска по протоколу ALL-MB-2008	3,058	1,530-6,111	0,002
Риск развития рецидива			
группа ВГР	3,864	1,226-12,183	0,021
М3-статус костного мозга на 15-й день терапии	8,385	2,464-28,537	0,001
инициальный лейкоцитоз $\geq 30 \times 10^9/\pi$	3,276	1,109-9,678	0,032
OB			
группа ВГР	1,479	0,356-6,139	0,590
отсутствие ремиссии к 36-му дню терапии	12,372	3,379-45,304	< 0,001
инициальный лейкоцитоз $\geq 50 \times 10^9/л$	4,738	1,491-15,058	0,008

Примечание. * — 1 пациент был исключен из анализа по причине смерти в индукции, наступившей до 15-го дня.

Таблица 4. Многофакторный анализ прогностических показателей с учетом групп генетического риска и МОБ на 15, 36 и 85-й дни терапии у 115 пациентов с ВП-ОЛЛ

Показатель	OP	95 % ДИ	p
БСВ			
группа ВГР	5,811	1,747-19,326	0,004
величина МОБ на 15-й день терапии ≥ 10 $\%$	12,892	1,426-116,539	0,023
величина МОБ на 85-й день терапии $\geq 0,01~\%$	5,521	1,620-18,817	0,006
Риск развития рецидива			
группа ВГР	7,062	1,947-25,619	0,003
величина МОБ на 15-й день терапии $\geq 10~\%$	12,251	1,329-112,930	0,027
величина МОБ на 85-й день терапии $\geq 0,01~\%$	4,574	1,170-17,881	0,029
OB			
группа ВГР	7,471	1,373-40,656	0,020
величина МОБ на 85-й день терапии $\geq 0,01\%$	9,080	1,926-42,810	0,005

Table 3. Multivariate analysis of prognostic factors, including genetic risk group stratification in 141 BCP-ALL patients*

Indicator	Hazard ratio	95 % CI	p
EFS			
GEN-PR group	2.659	1.047-6.755	0.040
high-risk group of ALL-MB-2008 protocol	3.058	1.530-6.111	0.002
The risk of relapse			
GEN-PR group	3.864	1.226-12.183	0.021
M3-status of the bone marrow on the day 15 of induction remission	8.385	2.464-28.537	0.001
initial WBC count $\geq 30 \times 10^9/1$	3.276	1.109-9.678	0.032
OS			
GEN-PR group	1.479	0.356-6.139	0.590
the lack of remission on the day 36 of induction remission	12.372	3.379-45.304	< 0.001
initial WBC count $\geq 50 \times 10^9/1$	4.738	1.491-15.058	0.008

Note. * -1 patient was excluded from analysis due to death in the induction occurred before the 15^{th} day.

Table 4. Multivariate analysis of prognostic factors, including genetic risk group stratification and MRD on the day 15, 36, 85 in 115 BCP-ALL nations

Indicator	Hazard ratio	95 % CI	p
EFS			
GEN-PR group	5.811	1.747-19.326	0.004
MRD value $\geq 10 \%$ on the day 15	12.892	1.426-116.539	0.023
MRD value $\geq 0.01 \%$ on the day 85	5.521	1.620-18.817	0.006
The risk of relapse			
GEN-PR group	7.062	1.947-25.619	0.003
MRD value $\geq 10 \%$ on the day 15	12.251	1.329-112.930	0.027
MRD value $\geq 0.01 \%$ on the day 85	4.574	1.170-17.881	0.029
OS			
GEN-PR group	7.471	1.373-40.656	0.020
MRD value $\geq 0.01 \%$ on the day 85	9.080	1.926-42.810	0.005

Таблица 5. Прогностическое значение делеций гена *IKZF1* у пациентов группы *BГP*

Показатель	Группа ВГР	Делеции <i>IKZF1</i>	Отсутствие делеций <i>IKZF1</i>	p
Число пациентов	28	15	13	
Количество неблагоприятных событий	10	9	1	0,005
Количество рецидивов	9	7	1	0,016

Таблица 6. Многофакторный анализ прогностических показателей с учетом делеций гена IKZF1 и групп генетического риска у 141 пациента с ВП-ОЛЛ

елеции гена 1КZF 1 и групп генетического риска у 141 пациента с ВП-ФП ———————————————————————————————————				
Показатель	OP	95 % ДИ	p	
БСВ		<u>-</u>		
группа ВГР	0,696	0,086-5,636	0,735	
делеции гена <i>IKZF1</i>	4,292	1,521-12,111	0,006	
высокая группа риска по протоколу ALL-MB-2008	2,398	1,165-4,936	0,012	
Риск развития рецидива				
группа ВГР	0,511	0,053-4,924	0,561	
делеции гена IKZF1	9,163	3,131-26,815	< 0,001	
M3-статус костного моз- га на 15-й день терапии	10,980	3,191-37,784	< 0,001	
инициальный лейкоцитоз $\geq 30 \times 10^9/\pi$	4,916	1,565-15,442	0,006	
OB				
группа ВГР	0,931	0,102-8,526	0,950	
делеции гена <i>IKZF1</i>	2,557	0,237-27,594	0,439	
отсутствие ремиссии к 36-му дню терапии	5,868	1,501-22,934	0,011	
инициальный лейкоци $\mbox{тоз} \geq 30 \times 10^9 / \mbox{л}$	4,993	1,565–15,936	0,007	

ные ОЛЛ» было показано, что уже в однофакторном анализе это деление утрачивает свое значение как по влиянию на БСВ и ОВ, так и на КЧР (p > 0.05 во всех случаях).

Так как все случаи делеций IKZF1 (n=15) вошли в группу ВГР, то мы провели оценку прогностического значения изолированных делеций IKZF1 у пациентов этой группы. При этом было выявлено, что подавляющее большинство неблагоприятных событий, а также рецидивов произошли именно в группе с делециями IKZF1 (табл. 5), что было достоверно чаще, чем у пациентов группы ВГР без делеций IKZF1. Основываясь

Table 5. Prognostic significance of IKZF1 gene deletions in the GEN-PR group patients

Parameter	GEN-PR group	IKZF1 deletions	Absence of <i>IKZF1</i> deletions	p
Number of patients	28	15	13	
Number of unfavorable events	10	9	1	0.005
Number of relapses	9	7	1	0.016

Table 6. Multivariate analysis of prognostic factors, including IKZF1 gene deletions and genetic risk group stratification in 141 BCP-ALL patients

Indicator	Hazard ratio	95 % CI	p
EFS			
GEN-PR group	0.696	0.086-5.636	0.735
IKZF1 gene deletions	4.292	1.521-12.111	0.006
high-risk group of ALL-MB-2008 protocol	2.398	1.165-4.936	0.012
The risk of relapse			
GEN-PR group	0.511	0.053-4.924	0.561
IKZF1 gene deletions	9.163	3.131-26.815	< 0.001
M3-status of the bone marrow on the day 15 of induction remission	10.980	3.191-37.784	< 0.001
initial WBC count $\geq 30 \times 10^9/l$	4.916	1.565-15.442	0.006
OS			
GEN-PR group	0.931	0.102-8.526	0.950
IKZF1 gene deletions	2.557	0.237-27.594	0.439
the lack of remission on the day 36 of induction remission	5.868	1.501-22.934	0.011
initial WBC count $\geq 30 \times 10^9/1$	4.993	1.565-15.936	0.007

на полученных данных, мы провели еще одну серию многофакторного анализа в общей группе больных (n=142), включив в него еще и делеции IKZFI. Интересно отметить, что в при этом группа ВГР утрачивала свое неблагоприятное значение как по влиянию на риск неблагоприятного события (OP-0,696; 95 % ДИ 0,086-5,636; p=0,735), так и на риск рецидива (OP-0,511; 95 % ДИ 0,053-4,924; p=0,561), в то время как делеции IKZFI сохраняли свое негативное влияние и на БСВ (OP-4,292; 95 % ДИ 1,521-12,911; p=0,006), и на риск рецидива (OP-9,163; 95 % ДИ 3,131-26,815; p<0,001) (табл. 6).

1 TOM 5

Обсуждение

Как мы уже отмечали ранее, делеции *IKZF1* являются важным неблагоприятным прогностическим фактором [1—9]. Однако остается не до конца ясным, почему часть пациентов с делециями *IKZF1* остаются в длительной полной продолжающейся ремиссии, в то время как у части больных без делеций развиваются рецидивы. Это подтолкнуло исследователей к более глубокому анализу, и одним из таких новых подходов стало комбинирование результатов оценки статуса гена *IKZF1* с другими цитогенетическими или молекулярно-генетическими показателями, а также данными определения МОБ [18, 19, 24].

Существует несколько технологических методов выявления делеций *IKZF1*, такие как исследование профиля однонуклеотидных полиморфизмов (SNP array) [11], флуоресцентная гибридизация *in situ*, полимеразная цепная реакция на геномной ДНК [25], MLPA [26]. Однако самым распространенным стал последний упомянутый метод — MLPA, что связано как с его технической простотой, так и с наличием коммерчески доступных наборов, которые позволяют одновременно с делециями гена *IKZF1* регистрировать делеции в других генах, статус которых включен в анализ потенциально прогностически значимых комбинаций при ОЛЛ у детей и взрослых.

Полученные нами результаты по частоте встречаемости отдельных MLPA-маркеров и прогностическому значению разделения пациентов на генетические группы риска в целом сопоставимы с данными, опубликованными А. Моогта et al. [18], однако распределение пациентов на группы ВГР и НГР несколько отличается. В нашей работе доля группы ВГР составляет почти 20 %, в то время как в упоминаемой выше работе в зависимости от протокола терапии она была 24 % (UKALL2003) и 28 % (ALL 97/99). Отчасти это может быть обусловлено тем, что не все наши пациенты были обследованы на наличие iAMP21, доля которой в общей популяции детей с ОЛЛ приближается к 2 % [27], отчасти — возможными этническими различиями.

Классификатор, предложенный А. Моогтап et al., представляет особую ценность для пациентов промежуточной группы риска без прогностически значимых цитогенетических аберраций [18], однако, скорее всего, в силу небольшого размера исследуемой нами группы «другие В-линейные ОЛЛ» мы не смогли подтвердить эту закономерность.

Несмотря на то, что в многофакторном анализе нами была показана независимая прогностически неблагоприятная роль группы ВГР, которая сохраняла свое негативное значение даже при включении в анализ МОБ, однако большинство рецидивов среди пациентов группы ВГР происходило при наличии у них делеций *IKZF1*. Последние также являлись независимым прогностическим фактором, мощность которого превышала деление на группы генетического риска.

Подводя итоги, хочется отметить, что, несмотря на интересные результаты, полученные нами, они нуждаются в верификации на большей когорте пациентов, предпочтительно в многоцентровом формате. Поэтому мы приглашаем к сотрудничеству всех заинтересованных специалистов, работающих в онкогематологических лабораториях, а также врачей-гематологов и летских онкологов.

Заключение

Таким образом, деление на группы генетического риска на основании комбинации цитогенетических факторов риска и молекулярно-генетических показателей, выявляемых методом МLРА, позволило прогнозировать исходы терапии у детей с ВП-ОЛЛ, однако оно утрачивало свою прогностическую значимость в группе «другие В-линейные ОЛЛ». Большинство неблагоприятных событий происходило в группе пациентов с делециями *IKZF1*, которые являлись независимым прогностическим фактором, мощность которого превышала деление на группы генетического риска.

Благодарности

Авторы выражают благодарность всем врачам и медицинским сестрам отдела детской онкологии и гематологии ГБУЗ СО «Областная детская клиническая больница № 1» (Екатеринбург).

Конфликт интересов/Conflict of interests

Авторы заявляют об отсутствии конфликта интересов.

The authors declare no conflict of interest.

Финансирование/Financing

Исследование проводилось без спонсорской поддержки.

The study was performed without external funding.

ЛИТЕРАТУРА / REFERENCES

- 1. Mullighan C., Su X., Zhang J. et al.; Children's Oncology Group. Deletion of IKZF1 and prognosis in acute lymphoblastic leukemia. N Engl J Med 2009;360(5):470-80. doi: 10.1056/NEJMoa0808253.
- 2. Kuiper R., Waanders E., van der Velden V. et al. IKZF1 deletions predict relapse in uniformly treated pediatric precursor B-ALL. Leukemia 2010;24(7):1258-64. doi: 10.1038/ leu.2010.87.
- 3. Olsson L., Albitar F., Castor A. et al. Cooperative genetic changes in pediatric B-cell precursor acute lymphoblastic leukemia with deletions or mutations of IKZF1. Genes Chromosomes Cancer 2015;54(5):315-25. doi: 10.1002/ gcc.22245.
- 4. Boer J., van der Veer A., Rizopoulos D. et al. Prognostic value of rare IKZF1 deletion in childhood B-cell precursor acute lymphoblastic leukemia: an international collaborative study. Leukemia 2016;30(1):32-8. doi: 10.1038/ leu.2015.199.
- 5. Dorge P., Meissner B., Zimmermann M. et al. IKZF1 deletion is an independent predictor of outcome in pediatric acute lymphoblastic leukemia treated according to the ALL-BFM 2000 protocol. Haematologica 2013;98(3):428-32. doi: 10.3324/haematol.2011.056135. 6. Chen I.M., Harvey R., Mullighan C. et al.
- Outcome modeling with CRLF2, IKZF1, JAK, and minimal residual disease in pediatric acute lymphoblastic leukemia: a Children's Oncology Group Study. Blood 2012;119(15):3512-22. doi: 10.1182/blood-2011-11-394221.
- 7. Palmi C., Valsecchi M.G., Longinotti G. et al. What is the relevance of Ikaros gene deletions as a prognostic marker in pediatric Philadelphia-negative B-cell precursor acute lymphoblastic leukemia? Haematologica 2013;98(8):1226-31. doi: 10.3324/haematol.2012.075432
- 8. Öfverholm I., Tran A.N., Heyman M. et al. Impact of IKZF1 deletions and PAX5 amplifications in pediatric B-cell precursor ALL treated according to NOPHO protocols. Leukemia 2013;27(9):1936-9. doi: 10.1038/ leu.2013.92.
- 9. Цаур Г.А., Друй А.Е., Солодовников А.Г. и др. Делеции гена $\mathit{IKZF1}$ — независимый прогностический фактор у детей с острым лимфобластным лейкозом из В-линейных предшественников. Онкогематология 2016;11(4):33-48. [Tsaur G.A., Druy A.E., Solodovnikov A.G. et al. *IKZF1* deletions are independent prognostic factor in pediatric B-cell precursor acute lymphoblastic leukemia. Onkoge matologiya = Oncohematology2016;11(4):33-48. (In Russ.)]. 10. Kuiper R., Schoenmakers E., van Reijmers-
- dal S. et al. High-resolution genomic profiling of childhood ALL reveals novel recurrent genetic lesions affecting pathways involved in lymphocyte differentiation and cell cycle progression.

- Leukemia 2007;21(6):1258-66. doi: 10.1038/ si.leu.2404691.
- 11. Mullighan C., Goorha S., Radtke I. et al. Genome-wide analysis of genetic alterations in acute lymphoblastic leukaemia. Nature 2007;446(7137):758-64. doi: 10.1038/nature05690.
- 12. Mullighan C., Miller C., Radtke I. et al. BCR-ABL1 lymphoblastic leukaemia is characterized by the deletion of Ikaros. Nature 2008;453(7191):110-4. doi: 10.1038/nature06866.
- 13. Martinelli G., Iacobucci I., Storlazzi C.T. et al. IKZF1 (Ikaros) deletions in BCR-ABL1-positive acute lymphoblastic leukemia are associated with short disease-free survival and high rate of cumulative incidence of relapse: a GIMEMA AL WP report. J Clin Oncol 2009;27(31):5202-7. doi: 10.1200/ JCO.2008.21.6408.
- 14. Nakayama H., Ishimaru F., Avitahl N. et al. Decreases in Ikaros activity correlate with blast crisis in patients with chronic myelogenous leukemia. Cancer Res 1999;59(16):3931-4. PMID: 10463586.
- 15. van der Veer A., Waanders E., Pieters R. et al. Independent prognostic value of BCR-ABL1-like signature and IKZF1 deletion, but not high CRLF2 expression, in children with B-cell precursor ALL. Blood 2013;122(15):2622-9. doi: 10.1182/ blood-2012-10-462358.
- 16. Buitenkamp T., Pieters R., Gallimore N. et al. Outcome in children with Down's syndrome and acute lymphoblastic leukemia: role of IKZF1 deletions and CRLF2 aberrations. Leukemia 2012;26(10):2204-11. doi: 10.1038/ leu.2012.84.
- 17. Moorman A., Ensor H., Richards S. et al. Prognostic effect of chromosomal abnormalities in childhood B-cell precursor acute lymphoblastic leukaemia: results from the UK Medical Research Council ALL97/99 randomised trial. Lancet Oncol 2010;11(5):429-38. doi: 10.1016/S1470-2045(10)70066-8.
- 18. Moorman A., Enshaei A., Schwab C. et al A novel integrated cytogenetic and genomic classification refines risk stratification in pediatric acute lymphoblastic leukemia. Blood 2014;124(9):1434-44. doi: 10.1182/ blood-2014-03-562918.
- 19. Stanulla M., Dagdan E., Zaliova M. et al. IKZF1_{nlus} defines a new minimal residual disease-dependent very poor prognostic profile in pediatric B cell precursor acute lymphoblastic leukemia. JCO [Accepted for publication]. 20. Литвинов Д.В., Карелин А.Ф., Романова К.И. и др. Лечение острого лимфобластного лейкоза у детей: современные возможности и нерешенные проблемы. Доктор. Ру 2015; (10): 30-7. [Litvinov D.V., Karelin A.F., Romanova K.I. et al. Treatment of acute lymphoblastic leukemia in

lems. Doctor.ru 2015;(10): 30-7. (In Russ.)]. 21. Цаур Г.А., Попов А.М., Фечина Л.Г., Румянцев С.А. Методические основы диагностики и мониторинга минимальной остаточной болезни при острых лейкозах у детей первого года жизни. Онкогематология 2016;11(1):62-74. [Tsaur G.A., Popov A.M., Fechina L.G., Rumyantsev S.A. Methodological aspects of diagnostics and minimal residual disease monitoring in infant acute leukemias. Onkogematologia = Oncohematology 2016;11(1):62-74. (In Russ.)]. 22. Попов А.М., Вержбицкая Т.Ю., Цаур Г.А. и др. Алгоритм применения проточной цитометрии для мониторинга минимальной остаточной болезни при CD10-негативном остром лимфобластном лейкозе из В-линейных предшественников. Вопросы лиагностики в пелиатрии 2012;5:31-5. [Popov A.M., Verzhbitskaya T.Yu., Tsaur G.A. et al. Methodology of flow cytometry application for minimal residual disease monitoring in childhood CD10-negative B-cell precursor acute lymphoblastic leukemia. Voprosy diagnostiki v pediatrii = Diagnostics in Pediatrics 2012;5:31-5. (In Russ.)]. 23. Попов А.М., Вержбицкая Т.Ю., Цаур Г.А. и др. Применение проточной цитометрии для определения минимальной остаточной болезни у детей с острым лимфобластным лейкозом, получающих терапию по протоколам со сниженной интенсивностью. Онкогематология 2015;10(4):44-55. [Popov A.M., Verzhbitskaya T.Yu., Tsaur G.A. et al. Flow cytometric minimal residual disease monitoring in children with acute lymphoblastic leukemia treated by regimens with reduced intensity. Onkogematologia = Oncohematology 2015;10(4): 44-55. (In Russ.)]. 24. Patel S., Mason C., Glenn M. et al Genomic

children: current possibilities and unsolved prob-

- analysis of adult B-ALL identifies potential markers of shorter survival. Leuk Res 2017;56:44-51. doi: 10.1016/j.leukres.2017.01.034.
- 25. Caye A., Beldjord Kh., Mass-Malo K. et al. Breakpoint-specific multiplex polymerase chain reaction allows the detection of IKZF1 intragenic deletions and minimal residual disease monitoring in B-cell precursor acute lymphoblastic leukemia. Haematologica 2013;98(4):597-601. doi: 10.3324/haematol.2012.073965.
- 26. Schwab C., Jones L., Morrison H. et al. Evaluation of multiplex ligation-dependent probe amplification as a method for the detection of copy number abnormalities in B-cell precursor acute lymphoblastic leukemia. Genes Chromosomes Cancer 2010;49(12):1104-13. doi: 10.1002/gcc.20818.
- 27. Moorman A., Richards S., Robinson H. et al. Prognosis of children with acute lymphoblastic leukaemia (ALL) and intrachromosomal amplification of chromosome 21 (iAMP21). Blood 2007;109(6):2327-30. doi: 10.1182/ blood-2006-08-040436.